

## بررسی مؤلفه‌های ایراهی و عوامل همراه آن در الگوهای طبیعی پنجگانه توپوگرافی قرنیه در مراجعین به کلینیک چشم‌پزشکی پارسیان اصفهان، سال ۱۳۹۳-۱۳۹۴

علی میرزا جانی<sup>۱</sup>، ستار آقاطاهری<sup>۱\*</sup>، سید محمد قریشی<sup>۲</sup>، ابراهیم جعفرزاده پور<sup>۱</sup>، محدثه محمدی نیا<sup>۳</sup>، مسعود صفرزاده<sup>۱</sup>

### چکیده

**زمینه و هدف:** بررسی ایراهی‌های سطح قدامی قرنیه با توجه به الگوی نرمال توپوگرافی قرنیه در افراد کاندید جراحی‌های انکساری، حائز اهمیت است. در این مطالعه ایراهی‌های سطح قدامی قرنیه در چشم‌های دارای الگوی نرمال توپوگرافی قرنیه به‌طور مقایسه‌ای بررسی گردید.

**روش بررسی:** در این مطالعه مقایسه‌ای، ۱۶۵ چشم از ۹۷ بیمار (۲۰-۳۰ ساله) که دارای الگوی نرمال توپوگرافی قرنیه بودند، مورد ارزیابی قرار گرفت. برای جمع‌آوری اطلاعات از ابزارهای توپوگراف پنتاکم، توپوگراف تامی، چارت استاندارد اسلن و اسلیت لمپ استفاده شد. داده‌ها با استفاده از آزمون کولموگروف-اسمیرونوف و تست تعقیبی توکی تجزیه و تحلیل شدند.

**یافته‌ها:** براساس نتایج حاصل از تست کولموگروف-اسمیرونوف، توزیع تمامی داده‌ها نرمال بود ( $p < 0.001$ ). برای گروه Irregular، Round، Oval، Symmetric Bow Tie و Asymmetric Bow Tie به بیشترین میزان ایراهی مربوط به RMS Total و برای گروه RMS (Low Order Aberrations) LOAs گروه Asymmetric Bow Tie و Irregular نسبت به سایر گروه‌ها بیشتر گزارش شد ( $p < 0.001$ ). همچنین ایراهی کوما در گروه Asymmetric Bow Tie نسبت به سایر گروه‌ها و ایراهی اسferیکال در گروه Irregular نسبت به سایرین به غیر از گروه Round ( $p = 0.089$ )، به‌طور معنی داری بیشتر بود ( $p < 0.001$ ).

**نتیجه‌گیری:** نتایج مطالعه حاضر نشان داد ارتباط معنی‌داری بین الگوهای نرمال توپوگرافی و ایراهی‌های سطح قدامی قرنیه وجود دارد و با توجه به متفاوت بودن برخی از مؤلفه‌های ایراهی در افراد با الگوی نرمال توپوگرافی، آنالیز ایراهی‌ها جهت دست یافتن به کیفیت بینایی بیشتر با اعمال جراحی رفرکتیو شخصی‌سازی شده، امری ضروری به نظر می‌رسد.

**کلید واژه‌ها:** ایراهی‌های قرنیه؛ توپوگرافی پزشکی؛ روند جراحی رفرکتیو.

گروه آموزشی بینایی‌سنجدی، دانشکده علوم توانبخشی، دانشگاه علوم پزشکی ایران، تهران، ایران.

گروه آموزشی چشم‌پزشکی، دانشکده پزشکی، دانشگاه علوم پزشکی اصفهان، تهران، ایران.

مرکز تحقیقات کلینیک فوق تخصصی چشم‌پزشکی پارسیان، تهران، ایران.

\*نویسنده مسئول مکاتبات:

ستار آقاطاهری<sup>۱</sup>، گروه آموزشی بینایی‌سنجدی، دانشکده علوم توانبخشی، دانشگاه علوم پزشکی ایران، تهران، ایران؛

ایران؛

آدرس پست الکترونیکی:

sattaraghataheri@gmail.com

تاریخ دریافت: ۹۴/۱۲/۴

تاریخ پذیرش: ۹۵/۱/۵

لطفاً به این مقاله به صورت زیر استناد نمایید:

Mirzajani A, Aghataheri S, Qoreishi SM, Jafarzadehpour I, Mohammadinia M, Safarzadeh M. An investigation of aberration components and their associated factors in quintuple normal corneal topographic patterns in the referrers of the Isfahan persian eye clinic, 2014-2015, Iran. Qom Univ Med Sci J 2017;10(12):8-16. [Full Text in Persian]

## مقدمه

اصفهان در سال ۱۳۹۴-۱۳۹۳ انجام شد. برای هر الگو، تعداد برابری نمونه (۳۳ چشم برای هر الگو) در نظر گرفته شد و قبل از انجام تست‌های گوناگون، بیماران در مورد آن توجیه شده و آزادی عمل افراد جهت شرکت در مطالعه رعایت گردید. الگوی Sagital Curvature توپوگرافی براساس نوع الگویی که در نقشه Four Map Selectable در داده دستگاه پنتاکم مشخص بود، تعیین گردید. نوع ایراهی به انواع نزدیکبینی، دوربینی، آستیگماتیسم، اسفریکال، کوما، تریفویل، تترافول، پنتافول، هگزافول و RMS (Root Mean Square)، تقسیم و میزان ایراهی با واحد میکرومتر سنجیده شد.

معیارهای ورود به مطالعه شامل: داشتن الگوی نرمال توپوگرافی قرنیه، شرایط سنی بین ۲۰-۳۰ سال، سایز مردمکی بین ۲-۶ میلی‌متر که در داده‌های دستگاه پنتاکم مشخص است، طبیعی‌بودن وضعیت اشک بیمار (بیمارانی دارای وضعیت نرمال اشک در نظر گرفته می‌شوند که دارای زمان بریک آپ بیش از ۱۰ ثانیه در تست بررسی کیفیت اشک Tear Break Up Time باشند) و نداشتن سابقه بیماری‌های قرنیه‌ای و جراحی قرنیه مؤثر بر توپوگرافی قرنیه بود.

معیارهای خروج از مطالعه عبارت بودند از: انصراف بیمار از ادامه همکاری، افراد دارای الگوی توپوگرافی Irregular و توپوگرافیک از جمله توپوگرافی تامی قوز قرنیه‌ها مسجل گردد و یا دارای ۱۰/BCDVA=10 بباشد.

با توجه به انحراف معیار و حدود اطمینان  $1/96 \pm 0/58$  براساس مطالعه McCormick GJ و همکاران (۹) و خطای اندازه‌گیری  $0/2$ ، تعداد ۳۳ نفر برای هر الگو طبق فرمول زیر تعیین گردید.

$$= \frac{z^2 \cdot sd^2}{d^2} = \frac{1.96^2 \cdot 0.58^2}{0.2^2} = 32.4$$

بیماران پیش از مواجهه با تست‌های گوناگون در مورد اجرای طرح و هدف از انجام آن توجیه شده و در مورد سابقه انجام جراحی بر روی قرنیه و سابقه بیماری‌های قرنیه مورد پرسش قرار گرفتند. در ادامه، به‌وسیله دستگاه پنتاکم (دارای نرمافزار 6.02r نسخه ۱۰) توپوگرافی قرنیه صورت گرفت، سپس در پنج گروه برطبق تقسیم‌بندی Bogen دسته‌بندی شدند (۱۰).

در هر سیستم اپتیکی ممکن است اختلافاتی بین تصویر ایده‌آل و دریافتی از سیستم اپتیکی، وجود داشته باشد که از آن تحت عنوان ایراهی‌ها یا معایب تصویر یاد می‌شود و می‌تواند کیفیت سیستم اپتیکی را کاهش دهد (۱). چشم انسان نیز به عنوان یک سیستم اپتیکی از این قضیه مبرا نیست. در دهه‌های اخیر، اصلاح عیوب انکساری توسط جراحی‌های رفرکتیو که عمده‌تاً بر ایجاد تغییر بر بافت قرنیه استوارند، توسعه یافته است. بنابراین، داشتن اطلاعات جامعی از بافت قرنیه، برای انجام چنین اعمال جراحی مهمی، طبیعی است. مطالعات گوناگونی، اهمیت بررسی ایراهی‌های اپتیکی چشم و تلاش در جهت کاهش آن و در نتیجه رضایتمندی بیشتر بیماران پس از جراحی را تأیید کرده‌اند (۳،۲). همچنین در مطالعات بسیاری به بررسی ایراهی‌های چشمی در بیماران مبتلا به کراتوکونوس و مقایسه این ایراهی‌ها در این بیماران و افراد نرمال از نظر توپوگرافی (افرادی که الگوی توپوگرافی آنها نشان‌دهنده کراتوکونوس نمی‌باشد) پرداخته شده است (۴-۶). نتایج این گونه مطالعات عموماً نشان داده‌اند آنالیز ایراهی‌ها در دو گروه کراتوکونوس و نرمال، به‌طور معنی‌داری متفاوت بوده و درجات این ایراهی‌ها برای گروه کراتوکونوس بیشتر است (۸،۷). به‌نظر می‌رسد با توجه به اینکه اکثر تحقیقات میان این موضوع هستند که ایراهی‌های چشمی در افراد کراتوکونوس بیشتر است اهمیت بررسی ایراهی‌ها در افراد نرمال از نظر توپوگرافی قرنیه کمی موردن غفلت قرار گرفته است. همچنین با توجه به اینکه افراد دارای الگوی نرمال توپوگرافی، کاندید جراحی‌های رفرکتیو هستند، لذا می‌توان با بررسی ایراهی‌ها در این افراد، کمک شایانی به افزایش راندمان جراحی‌های رفرکتیو و در نتیجه بهبود کیفیت زندگی آنها کرد. این مطالعه با هدف تعیین مؤلفه‌های ایراهی و عوامل همراه آن در الگوهای طبیعی پنجگانه توپوگرافی قرنیه در مراجعین به کلینیک چشم‌پزشکی پارسیان اصفهان در سال ۱۳۹۳ و ۱۳۹۴ صورت گرفت.

## روش بررسی

این مطالعه در ۱۶۵ چشم از ۹۷ بیمار (۲۰-۳۰ ساله) دارای الگوی نرمال توپوگرافی مراجعه کننده به کلینیک چشم‌پزشکی پارسیان

همچنین با کمک تست تعقیبی توکی داده‌های مربوط به آن دسته از متغیرهایی که با آزمون مقایسه واریانس اختلاف معنی‌دار نشان دادند، ارزیابی گردید تا مشخص شود واریانس‌ها بین کدام گروه‌ها اختلاف معنی‌دار نشان داده و بین کدام گروه‌ها از نظر آماری اختلاف معنی‌داری نشان نداده است.

برای بیمارانی که دارای الگوی Irregular Bow و Asymmetric Bow Tie بودند توبوگرافی قرنیه بهوسیله دستگاه تامی و بهترین دید دور اصلاح شده ثبت گردید. همچنین بیماران از نظر وضعیت اشک مورد بررسی قرار گرفتند. با در نظر گرفتن معیارهای ورود و خروج اطلاعات، ابرومتریک هر چشم برای بررسی در پرونده ثبت شد.

### یافته‌ها

در این مطالعه، ۱۶۵ چشم از ۹۷ بیمار بررسی گردید. اطلاعات دموگرافیک مربوط به بیماران در جدول شماره ۱ آورده شده است.

داده‌ها با استفاده از نرم‌افزار SPSS نسخه ۱۷، آزمون کولموگروف-اسمیرونوف (برای توزیع نرمال داده‌ها) و آزمون واریانس یک‌طرفه (برای مقایسه واریانس‌ها) تجزیه و تحلیل شدند.

جدول شماره ۱: اطلاعات دموگرافیک افراد شرکت‌کننده در مطالعه

آستیگماتیسم قرنیه	کراتومتری	سن	جنس		الگوی توبوگرافی
			زن	مرد	
۰/۶±۰/۳	۴۴/۳±۱/۶	۲۸/۸±۲/۳	۱۱	۷	Round
۱/۰±۰/۴	۴۳/۹±۰/۹	۲۶/۴±۱/۵	۱۲	۹	Oval
۲/۶±۰/۸	۴۳/۳±۱/۲	۲۶/۹±۱/۹	۱۲	۹	Symmetric Bow Tie
۱/۷±۰/۷	۴۳/۹±۱/۳	۲۷/۹±۲/۳	۱۴	۴	Asymmetric Bow Tie
۰/۶±۰/۵	۴۳/۸±۰/۹	۲۷/۷±۲/۸	۱۰	۹	Irregular
۱/۳±۱/۰	۴۳/۸±۱/۳	۲۷/۱±۲/۵	۵۹	۳۸	همه بیماران

براساس نتایج تست کولموگروف-اسمیرونوف، در جدول توزیع تمامی داده‌ها نرمال بوده است ( $p < 0.05$ ).

گروه Asymmetric Bow Tie به RMS LOA مربوط بود (جدول شماره ۲).

پس از دسته‌بندی الگوهای ایراهی مختلف مورد ارزیابی قرار گرفت. برای گروه Asymmetric Bow Tie، Round، Oval، Symmetric Bow Tie و Irregular، بیشترین میزان ایراهی مربوط به RMS Total و برای

جدول شماره ۲: انواع ابیراهی‌ها و مقادیر p مربوط به تست واریانس

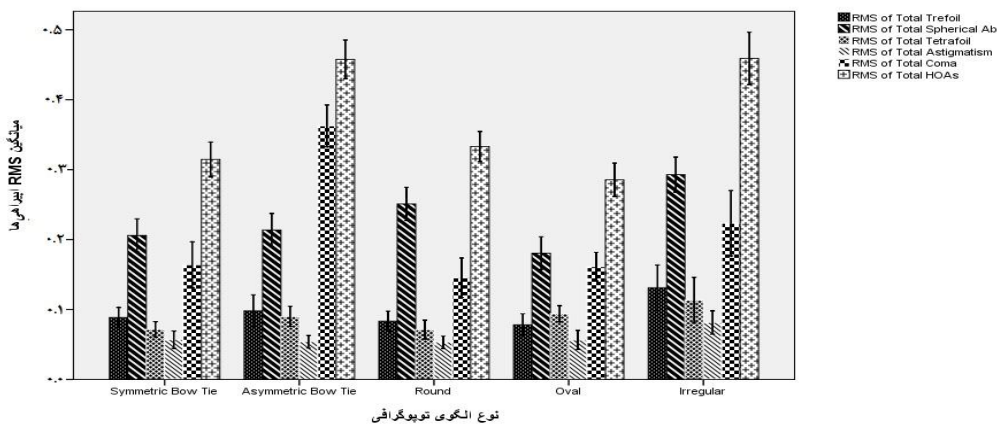
متغیر	ضریب زرینیکه	گروه Round(μm)	گروه Oval(μm)	گروه Symmetric Bow Tie(μm)	گروه Asymmetric Bow Tie(μm)	گروه irregular	مقادیر p
Vertical Trefoil	$Z_3^{-3}$	- $/0.17 \pm 0.053$	- $/0.13 \pm 0.064$	- $/0.11 \pm 0.049$	- $/0.10 \pm 0.076$	- $/0.18 \pm 0.125$	- $<0.282$
Vertical Coma	$Z_3^{-1}$	- $/0.17 \pm 0.083$	- $/0.09 \pm 0.047$	- $/0.03 \pm 0.149$	- $/0.171 \pm 0.306$	- $/0.042 \pm 0.196$	- $<0.001$
Horizontal Coma	$Z_3^{+1}$	- $/0.18 \pm 0.141$	- $/0.06 \pm 0.077$	- $/0.20 \pm 0.108$	- $/0.09 \pm 0.135$	- $/0.009 \pm 0.159$	- $<0.946$
Horizontal Trefoil	$Z_3^3$	- $/0.08 \pm 0.046$	- $/0.09 \pm 0.042$	- $/0.04 \pm 0.068$	- $/0.21 \pm 0.079$	- $/0.002 \pm 0.061$	- $<0.271$
Vertical Tetrafoil	$Z_4^{-4}$	- $/0.03 \pm 0.053$	- $/0.02 \pm 0.053$	- $/0.11 \pm 0.052$	- $/0.19 \pm 0.057$	- $/0.005 \pm 0.095$	- $<0.591$
vertical Secondary Ast	$Z_4^{-2}$	- $/0.08 \pm 0.039$	- $/0.07 \pm 0.045$	- $/0.01 \pm 0.045$	- $/0.08 \pm 0.037$	- $/0.03 \pm 0.060$	- $<0.927$
Spherical	$Z_4^0$	- $/0.251 \pm 0.067$	- $/0.179 \pm 0.066$	- $/0.05 \pm 0.067$	- $/0.213 \pm 0.067$	- $/0.292 \pm 0.071$	- $<0.001$
Horizontal Secondary Ast	$Z_4^2$	- $/0.007 \pm 0.041$	- $/0.02 \pm 0.046$	- $/0.06 \pm 0.045$	- $/0.07 \pm 0.044$	- $/0.039 \pm 0.051$	- $<0.001$
Horizontal Tetrafoil	$Z_4^4$	- $/0.033 \pm 0.049$	- $/0.064 \pm 0.051$	- $/0.16 \pm 0.053$	- $/0.031 \pm 0.069$	- $/0.042 \pm 0.093$	- $<0.050$
Pentafoil	$Z_5^{-5}$	- $/0.12 \pm 0.118$	- $/0.00 \pm 0.022$	- $/0.05 \pm 0.028$	- $/0.02 \pm 0.025$	- $/0.24 \pm 0.079$	- $<0.136$
Secondary Trefoil	$Z_5^{-3}$	- $/0.02 \pm 0.038$	- $/0.08 \pm 0.028$	- $/0.15 \pm 0.037$	- $/0.003 \pm 0.041$	- $/0.26 \pm 0.063$	- $<0.75$
Secondary Coma	$Z_5^{-1}$	- $/0.03 \pm 0.023$	- $/0.01 \pm 0.021$	- $/0.12 \pm 0.031$	- $/0.00 \pm 0.023$	- $/0.000 \pm 0.047$	- $<0.452$
Secondary Coma	$Z_5^1$	- $/0.01 \pm 0.014$	- $/0.06 \pm 0.014$	- $/0.04 \pm 0.015$	- $/0.002 \pm 0.011$	- $/0.007 \pm 0.031$	- $<0.074$
Secondary Trefoil	$Z_5^3$	- $/0.00 \pm 0.035$	- $/0.06 \pm 0.023$	- $/0.03 \pm 0.031$	- $/0.00 \pm 0.040$	- $/0.007 \pm 0.040$	- $<0.619$
Pentafoil	$Z_5^5$	- $/0.00 \pm 0.025$	- $/0.06 \pm 0.016$	- $/0.03 \pm 0.027$	- $/0.00 \pm 0.021$	- $/0.11 \pm 0.037$	- $<0.416$
Hexafoil	$Z_6^{-3}$	- $/0.00 \pm 0.017$	- $/0.03 \pm 0.022$	- $/0.01 \pm 0.016$	- $/0.07 \pm 0.020$	- $/0.001 \pm 0.030$	- $<0.446$
Tetrafoil	$Z_6^{-2}$	- $/0.00 \pm 0.015$	- $/0.01 \pm 0.014$	- $/0.02 \pm 0.015$	- $/0.004 \pm 0.016$	- $/0.000 \pm 0.030$	- $<0.648$
Ast 6 th	$Z_6^{-1}$	- $/0.00 \pm 0.096$	- $/0.01 \pm 0.10$	- $/0.02 \pm 0.011$	- $/0.04 \pm 0.009$	- $/0.004 \pm 0.020$	- $<0.258$
Spherical Ab6 <sup>th</sup> Order	$Z_6^0$	- $/0.00 \pm 0.088$	- $/0.19 \pm 0.11$	- $/0.05 \pm 0.012$	- $/0.05 \pm 0.013$	- $/0.07 \pm 0.017$	- $<0.001$
Ast 6th	$Z_6^1$	- $/0.00 \pm 0.10$	- $/0.07 \pm 0.19$	- $/0.05 \pm 0.10$	- $/0.00 \pm 0.22$	- $/0.004 \pm 0.24$	- $<0.687$
Tetrafoil	$Z_6^2$	- $/0.00 \pm 0.12$	- $/0.09 \pm 0.13$	- $/0.02 \pm 0.014$	- $/0.00 \pm 0.15$	- $/0.12 \pm 0.33$	- $<0.016$
Hexafoil	$Z_6^3$	- $/0.00 \pm 0.13$	- $/0.07 \pm 0.16$	- $/0.00 \pm 0.21$	- $/0.00 \pm 0.22$	- $/0.005 \pm 0.22$	- $<0.882$

RMS HOA در دو گروه Oval (p=0.100) و Round و دو گروه Irregular Asymmetric Bow Tie (p=1/000) از نظر آماری تفاوت معنی‌داری نشان نداد و در گروه Asymmetric Bow Tie با گروه Symmetric Bow Tie و Asymmetric Bow Tie، اختلاف معنی‌دار بود (p<0.001).

پس از انجام تست تعقیبی توکی برای مؤلفه‌های ابیراهی که بین گروه‌ها با تست واریانس، اختلاف معنی‌دار نشان دادند، مشخص گردید ابیراهی RMS LOA و RMS Total در سه گروه Oval، Round و Irregular از نظر آماری اختلاف معنی‌داری ندارد و در گروه Round، به طور معنی‌داری بیشتر از Symmetric Bow Tie، گروه Asymmetric Bow Tie (p=0.04) و سه گروه دیگر است (p<0.001).

در این مطالعه در مورد سایر ایبراهی‌ها، تیلت در راستای افقی، آستیگماتیسم مایل، تریفویل افقی و مایل، تترافول افقی و مایل، هگزافول افقی و مایل، کومای عمودی در مرتبه پنجم و کومای افقی، بین پنج گروه از نظر آماری اختلاف معنی‌داری نشان نداد Total Higher RMS مواردی چون  $p < 0.074$  ( $p < 0.074$ ). همچنین Total Order Aberrations شامل ردیف‌های  $3, 4, 5$  و  $6$ ،  $Z_5^{-3} Z_5^3 Z_3^{-3}$  Total Trefoil،  $(Z_3^1 Z_5^{-1} Z_5^1 Z_3^{-1})$  coma Total،  $(Z_4^0 Z_4^0)$  Total Spherical Aberration،  $(Z_3^3 Z_6^{-2} Z_6^2)$  Tetrafoil Higher Order و  $(Z_4^{-4} Z_4^4 Z_6^{-2} Z_6^2)$  Astigmatism داده‌های به دست آمده در نمودار مشخص شده است.

در مورد ایبراهی‌های مرتبه بالا، کومای عمودی در گروه Oval و Symmetric bow Tie نسبت به Asymmetric bow Tie و Irregular Round و Irregular به طور معنی‌داری بیشتر بود، ولی بین این دو گروه تفاوت معنی‌داری دیده نشد ( $p = 0.26$ ). همچنین ایبراهی اسفریکال در گروه Irregular نسبت به Oval و Asymmetric bow Tie، Symmetric bow Tie بیشتر بود، ولی با گروه Round، اختلاف معنی‌داری نداشت ( $p = 0.09$ ). آستیگماتیسم افقی مرتبه چهارم به طور معنی‌داری در گروه Irregular نسبت به سایر گروه‌ها بجز Symmetric bow Tie کمتر و ایبراهی اسفریکال مرتبه ششم نیز در گروه Oval نسبت به سایر گروه‌ها بیشتر بود ( $p \leq 0.001$ ). تریفویل افقی مرتبه ششم نیز تنها بین گروه Irregular و Symmetric bow Tie متفاوت بود ( $p = 0.03$ ).



نمودار: مقایسه میانگین RMS میزان کلی ایبراهی‌ها در گروه‌های مختلف

البته در مطالعه حاضر با توجه به اینکه ایبراهی کل چشم از ایبراهی‌های سطح قدامی، خلفی قرنیه و کریستالین لنز ناشی می‌شد، همچنین به دلیل تقسیم‌بندی و تفکیک بیماران با درنظر گرفتن الگوی توپوگرافی که با توجه به خصوصیات سطحی قرنیه شکل می‌گیرد، تنها به بررسی ایبراهی‌های سطح قدامی قرنیه پرداخته شد تا بتوان به طور واقعی‌تری به مقایسه مؤلفه‌های بین آنها پرداخت. مطالعات انجام شده در زمینه بررسی ایبراهی‌ها به تفکیک محل نیز نشان داده‌اند مقادیر ایبراهی‌های مرتبه بالا در سطح قدامی قرنیه نسبت به میزان چشمی آن، بیشتر است (۱۴).

## بحث

بنابر اهمیت بررسی ایبراهی‌ها در جراحی‌های انکساری که در مطالعات متعددی مورد تأکید قرار گرفته، و با توجه به اینکه افراد کاندیدای جراحی‌های عیوب انکساری دارای الگوی نرم‌التوپوگرافی قرنیه می‌باشند (۱۱، ۱۲)، در این تحقیق سعی گردید تا با بررسی ایبراهی‌های چشمی در آنها و پی بردن به اهمیت درنظر گرفتن ایبراهی‌ها در جراحی‌های شخصی‌سازی‌شده، بتوان به بازدهی بیشتر و کیفیت بالاتر پس از جراحی دست یافت؛ چراکه در مطالعات متعدد تأثیر جراحی‌های عیوب انکساری بر ایبراهی‌ها و تأثیر بررسی ایبراهی‌ها در جهت کاهش ارتقای آنها با اعمال جراحی نشان داده شده است (۱۳).

نسبت به سایر گروه‌ها بود.

مطالعه فیضی و همکاران (سال ۲۰۱۳) نشان داد از نظر ایراهی تریفویل و تترافویل، تفاوت معنی‌داری بین گروه کراتوکونوس و نرمال وجود ندارد و در واقع براساس این مطالعه، ارتباط معنی‌داری بین تریفویل (عمودی و افقی) و پارامترهای توپوگرافیک دیده نشد (۲۹) ولی در مطالعه حاضر، میزان بالاتری Total Tetrafoil از  $Z_3^{-3}, Z_3^3, Z_5^{-3}$  و Total Trefoil RMS  $(Z_4^{-4}, Z_4^{4}, Z_6^{-4}, Z_6^4)$  در گروه Irregular نسبت به سایرین مشاهده گردید. مطالعات پیشین نشان داده‌اند جراحی‌های رفرکتیو می‌تواند منجر به تغییرات اپتیکی در ایراهی‌های مرتبه بالا، بهویژه کوما و اسفریکال گردد. همچنین ارتباط قوی بین شکایات بینایی و ایراهی‌های چشمی مانند دویینی تک‌چشمی با کوما و خیرگی با ایراهی اسفریکال در مطالعات گذشته نیز نشان داده شده است (۳۰). در نتیجه با توجه به نتایج مطالعه حاضر می‌توان پیش‌بینی Asymmetric Bow Tie هستند به دلیل داشتن مقادیر بالاتری از ایراهی کوما، پس از جراحی از دویینی تک‌چشمی شکایت داشته باشند و افرادی که الگوی Irregular دارند نیز از خیرگی رنج ببرند. در مطالعه حاضر، در گروه Asymmetric Bow Tie افراد دارای درجه ای از ناهمواری سطح قرنیه (تا حدودی شبیه به افراد کراتوکونوس) بودند، میزان RMS Total و RMS LOA نسبت به سایر گروه‌ها متفاوت بود و RMS HOA در این گروه و گروه Irregular که آنها نیز سطح قرنیه ناهمواری داشتند، اختلاف معنی‌داری نشان نداد ( $p=1/000$ )، ولی نسبت به سایر گروه‌ها که درجات کمتری از ناهمواری قرنیه را دارا بودند، اختلاف معنی‌داری داشت. بنابراین بمنظور می‌رسد بیشتر میزان RMS ایراهی‌های مرتبه بالا به همواری و ناهمواری سطح قرنیه مرتبط باشد تا سایر مؤلفه‌ها. همچنین دو گروه Oval و Round در مورد مؤلفه‌های مرتبه بالا تنها در ایراهی اسفریکال دارای اختلاف آماری معنی‌دار بودند ( $p<0.05$ ) که می‌تواند با شباهت ویژگی‌های مشابه سطحی آنها مرتبط باشد.

## نتیجه‌گیری

بنظر می‌رسد آنالیز سطح قدامی قرنیه با ایریشن‌های چشمی

با توجه به اینکه در اکثر مطالعات، بررسی ایراهی‌ها بر روی افراد کراتوکونوس معطوف بوده، در مطالعه حاضر این ایراهی‌ها در افراد نرمال مورد بررسی قرار گرفت تا در صورت متفاوت بودن ایراهی‌ها در الگوهای مختلف، کیفیت بهتری را از نظر بینایی در بین الگوهای مختلف پس از جراحی‌های رفرکتیو انتظار داشته باشیم. بنابراین، اهمیت تشخیص و اندازه‌گیری ایراهی‌های مرتبه بالای سطح قرنیه نه تنها در جهت تفکیک افراد دچار کراتوکونوس؛ بلکه پیش از جراحی‌های عیوب انکساری برای شناسایی احتمال ایجاد اکتاژی قرنیه و پیش‌بینی وضعیت ایراهی‌ها در رابطه با الگوی توپوگرافی قرنیه الزاماً است.

در این مطالعه مشخصات و ویژگی‌های ضرائب زرنيکه در چشم‌های دارای الگوی نرمال توپوگرافی قرنیه براساس سیستم تقسیم‌بندی Bogan گزارش گردید. در واقع این پژوهش، نخستین تحقیق در جهت بررسی و مقایسه ایراهی‌های قرنیه‌ای مرتبه بالا در الگوهای مختلف نرمال توپوگرافی قرنیه بوده است. ارتباط بین الگوهای توپوگرافی ایراهی‌های مرتبه بالا در مطالعات قبلی مورد ارزیابی قرار گرفته‌اند که یافته‌های آنها در مطالعه حاضر نیز تأیید گردید. در مطالعه‌ای که توسط Kim HC و همکاران (سال ۲۰۰۳) صورت گرفت نشان داده شد گروه Asymmetric Bow Tie و Symmetric Bow Tie بالاتری از آستیگماتیسم قرنیه نسبت به سایر الگوها بوده که این مطلب نشان می‌دهد نوع الگوهای توپوگرافی به‌طور گسترده‌ای با آستیگماتیسم قرنیه، قابل تشخیص است (۱۵).

مطالعات پیشین با مقایسه ایراهی‌های کل چشم و ایراهی‌های مرتبه بالای قرنیه (بین چشم‌های نرمال از نظر توپوگرافی و چشم‌های دارای کراتوکونوس)، گزارش داده‌اند ایراهی‌ها در چشم‌های کراتوکونیک به‌طور معنی‌داری بیشتر از چشم‌های نرمال است (۱۶-۲۷). همچنین نتیجه گرفته‌اند نخستین تظاهرات عدم تقارن قرنیه‌ای در افراد مبتلا به کراتوکونوس، به صورت عمودی بروز می‌کند (۲۸). در مطالعه حاضر، این مورد در گروه Asymmetric Bow Tie یافت شد، همچنین در این مطالعه گروه Asymmetric Bow Tie دارای مقادیر بالاتری از ایراهی‌های Asymmetric Bow Tie (بهویژه کومای عمودی) Total coma RMS ( $Z_3^{-1}, Z_3^1, Z_5^{-1}Z_5^1$ )

بتوان قضاؤت بهتری در مورد مقایسه ابیراهی‌های چشمی در آنها کرد. همچنین توصیه می‌شود مطالعاتی در زمینه ابیراهی‌های قبل و بعد جراحی‌های رفرکتیو، براساس آنالیز سطحی انجام گیرد تا اهمیت بررسی ابیراهی‌ها، محسوس‌تر باشد.

### تشکر و قدردانی

این مقاله برگرفته از پژوهه تحقیقاتی پایان‌نامه دوره کارشناسی ارشد (به شماره ثبت اولیه ۹۳/۳۲۰/۱۰۳۲) می‌باشد. نویسنده‌گان مقاله مراتب سپاس خود را به تمامی عزیزانی که در به انجام رسیدن تحقیق زحماتی را متتحمل شدند، تقدیم می‌دارند.

باعث می‌شود بتوان کیفیت اپتیکی هر بخش از قرنیه، به خصوص سطح قدامی قرنیه را بررسی کرد و نیز با توجه به نتایج به دست آمده از این تحقیق و متفاوت بودن برخی از مؤلفه‌های ابرومتری مثل RMS کل، RMS ابیراهی‌های مرتبه بالا و پایین، اسپریکال، کوما و آستیگماتیسم؛ بررسی ابیراهی‌ها در افراد با الگوی نرمال توپوگرافی جهت دست‌یافتن به کیفیت بینایی بیشتر با اعمال جراحی رفرکتیو شخصی‌سازی شده، امری ضروری به نظر می‌رسد.

پیشنهاد می‌گردد بررسی ابیراهی‌های کل و قدامی خلفی به تفکیک محل در مطالعات بعدی در افراد نرمال صورت گیرد تا

### References:

1. Lawless MA, Hodge C. Wavefront's role in corneal refractive surgery. Clin Exp Ophthalmol 2005;33(2):199-209.
2. Nilforoushan MR, Speaker M, Marmor M, Abramson J, Tullo W, Morschauser D, et al. Comparative evaluation of refractive surgery candidates with Placido topography, Orbscan II, Pentacam, and wavefront analysis. J Cataract Refract Surg 2008;34(4):623-31.
3. Wang L, Santaella RM, Booth M, Koch DD. Higher-order aberrations from the internal optics of the eye. J Cataract Refract Surg 2005;31(8):1512-9.
4. Atchison DA, Mathur A, Read SA, Walker MI, Newman AR, Tanos PP, et al. Peripheral ocular aberrations in mild and moderate keratoconus. Invest Ophthalmol Vis Sci 2010;51(12):6850-7.
5. Lim L, Wei RH, Chan WK, Tan DT. Evaluation of higher order ocular aberrations in patients with keratoconus. J Refract Surg 2007;23(8):825-8.
6. Okamoto C, Okamoto F, Samejima T, Miyata K, Oshika T. Higher-order wavefront aberration and letter-contrast sensitivity in keratoconus. Eye (Lond) 2008;22(12):1488-92.
7. Schlegel Z, Lteif Y, Bains HS, Gatinel D. Total, corneal, and internal ocular optical aberrations in patients with keratoconus. J Refract Surg 2009;25(10 Suppl):S951-7.
8. Wygledowska-Promienska D, Zawojska I, Jaworski P. Evaluation of eye total aberration in patients with keratoconus. Klin Oczna 2004;106(1-2):54-60.
9. McCormick GJ, Porter J, Cox IG, MacRae S. Higher-order aberrations in eyes with irregular corneas after laser refractive surgery. Ophthalmology 2005;112(10):1699-709.
10. Bogan SJ, Waring GO 3rd, Ibrahim O, Drews C, Curtis L. Classification of normal corneal topography based on computer-assisted videokeratography. Arch Ophthalmol 1990;108(7):945-9.
11. OD WT. Identifying candidates for non-corneal refractive surgery; 2014.
12. Resan MVM, Milivojević M. Wavefront aberrations. Advance in ophthalmology Rijeka: In Tech; 2012. p. 191–204.

13. Moreno-Barriuso ELJ, Marcos S, Navarro R, Llorente L, Barbero S. Ocular aberrations before and after myopic corneal refractive surgery: LASIK-induced changes measured with laser ray tracing. *Invest Ophthalmol Vis Sci* 2001;42(6):1396-403.
14. Kelly JE, Mihashi T, Howland HC. Compensation of corneal horizontal/vertical astigmatism, lateral coma, and spherical aberration by internal optics of the eye. *J Vis* 2004;4(4):262-71.
15. Kim HC, Chang SD. Relationship between topographic patterns and corneal astigmatism in Korean adults. *Korean J Ophthalmol* 2003;17(2):91-6.
16. Alio JL, Shabayek MH. Corneal higher order aberrations: A method to grade keratoconus. *J Refract Surg* 2006;22(6):539-45.
17. Barbero S, Marcos S, Merayo-Llaves J, Moreno-Barriuso E. Validation of the estimation of corneal aberrations from videokeratography in keratoconus. *J Refract Surg* 2002;18(3):263-70.
18. Gobbe M, Guillou M. Corneal wavefront aberration measurements to detect keratoconus patients. *Cont Lens Anterior Eye* 2005;28(2):57-66.
19. Gordon-Shaag A, Millodot M, Ifrah R, Shneor E. Aberrations and topography in normal, keratoconus-suspect, and keratoconic eyes. *Optom Vis Sci* 2012;89(4):411-8.
20. Jafri B, Li X, Yang H, Rabinowitz YS. Higher order wavefront aberrations and topography in early and suspected keratoconus. *J Refract Surg* 2007;23(8):774-81.
21. Jinabhai A, Radhakrishnan H, O'Donnell C. Visual acuity and ocular aberrations with different rigid gas permeable lens fittings in keratoconus. *Eye Contact Lens* 2010;36(4):233-7.
22. Kosaki R, Maeda N, Bessho K, Hori Y, Nishida K, Suzuki A, et al. Magnitude and orientation of Zernike terms in patients with keratoconus. *Invest Ophthalmol Vis Sci* 2007;48(7):3062-8.
23. Maeda N, Fujikado T, Kuroda T, Mihashi T, Hirohara Y, Nishida K, et al. Wavefront aberrations measured with Hartmann-Shack sensor in patients with keratoconus. *Ophthalmology* 2002;109(11):1996-2003.
24. Nakagawa TMN, Kosaki R, Hori Y, Inoue T, Saika M, et al. Higher-order aberrations due to the posterior corneal surface in patients with keratoconus. *Invest Ophthalmol Vis Sci* 2009;50(6):2660-5.
25. Schlegel Z H-XT, Gatinel D. Comparison of and correlation between anterior and posterior corneal elevation maps in normal eyes and keratoconus-suspect eyes. *J Cataract Refract Surg* 2008;34(5):789-95.
26. Schwiegerling J, Greivenkamp JE. Using corneal height maps and polynomial decomposition to determine corneal aberrations. *Optom Vis Sci* 1997;74(11):906-16.
27. Shah S, Naroo S, Hosking S, Gherghel D, Mantry S, Bannerjee S, et al. Nidek OPD-scan analysis of normal, keratoconic, and penetrating keratoplasty eyes. *J Refract Surg* 2003;19(2 Suppl):S255-9.
28. Büren JKC, Kohnen T. Defining subclinical keratoconus using corneal first-surface higher-order aberrations. *Am J Ophthalmol* 2007;143(3):381-9.
29. Feizi S, Einollahi B, Raminkhoo A, Salehirad S. Correlation between corneal topographic indices and higher-order aberrations in keratoconus. *J Ophthalmic Vis Res* 2013;8(2):113-18.
30. Chalita MR XM, Krueger RR. Correlation of aberrations with visual symptoms using wavefront analysis in eyes after laser in situ keratomileusis. *J Refract Surg* 2003;19(6):S682-6.

Original Article

**An Investigation of Aberration Components and their Associated Factors in Quintuple Normal Corneal Topographic Patterns in the Referrers of the Isfahan Persian Eye Clinic, 2014-2015, Iran**

Ali Mirzajani<sup>1</sup>, Sattar Aghataheri<sup>1\*</sup>, Seyed Mohammad Qoreishi<sup>2</sup>, Ibrahim Jafarzadehpour<sup>1</sup>, Mohadeseh Mohammadinia<sup>3</sup>, Masoud Safarzadeh<sup>1</sup>

<sup>1</sup>Department of Optometry,  
Faculty of Rehabilitation  
Sciences, Iran University of  
Medical Sciences, Tehran,  
Iran.

<sup>2</sup>Department of  
Ophthalmology, Faculty of  
Medicine, Isfahan University  
of Medical Sciences, Isfahan,  
Iran.

<sup>3</sup>Persian Ophthalmology  
Clinic Research Center,  
Tehran, Iran.

\*Corresponding Author:  
Sattar Aghataheri,

<sup>1</sup>Department of Optometry,  
Faculty of Rehabilitation  
Sciences, Iran University of  
Medical Sciences, Tehran,  
Iran.

Email:  
sattaraghataheri@gmail.com

Received: 22 Feb, 2016

Accepted: 24 Mar, 2016

**Abstract**

**Background and Objectives:** Evaluation of anterior corneal surface aberrations according to normal corneal topography is important. In this study, aberrations of corneal anterior surface in eyes with normal topographic pattern, was comparatively investigated.

**Methods:** In this comparative study, 165 eyes of 97 patients (20-30 years old), which had normal corneal topographic pattern, were evaluated. Data collection tools were Pentacam topographer, Tomey topographer, standard Snellen visual acuity chart, and slit-lamp. Data were analyzed using Kolmogorov-Smirnov and Tukey post-hoc tests.

**Results:** Based on the results of the Kolmogorov-Smirnov, the distribution of all data was normal ( $0.058 < p < 1.000$ ). For symmetric bow-tie group, oval, round, and irregular groups the most level of aberration was related to RMS Total and for asymmetric bow-tie group was related to RMS Low order aberrations (LOAs). High order aberrations (HOAs) were higher in asymmetric bow-tie and irregular group compared to the other groups, and spherical aberration was significantly higher in the irregular pattern group compared to the other groups ( $p < 0.001$ ), except round pattern group ( $p = 0.089$ ).

**Conclusion:** The results of the present study showed that there is a significant relationship between corneal topographic patterns and corneal anterior surface aberrations, and according to the difference of some aberration components in subjects with normal topographic pattern, aberration analysis is essential to achieve higher visual quality after refractive surgery.

**Keywords:** Corneal wavefront aberrations; Topography, Medical; Refractive surgical procedures.